

## بررسی رفتار کاهنده چرخه هیسترزیس در تحلیل‌های غیرخطی (پوش اور) برای قاب‌های بتی خمثی ویژه با دیوار برشی

غلامرضا قدرتی امیری<sup>۱\*</sup>، سید علی رضویان امرئی<sup>۲</sup> و حیدر شیخی<sup>۳</sup>

### اطلاعات مقاله

### چکیده

در سالیان اخیر محققین گام‌های مؤثری در بهسازی لرزه‌ای سازه‌ها برداشته‌اند و دیدگاه آنان در فراهم آوردن طرح ایمن از تأمین مقاومت، متوجه عملکرد سازه‌ها گردیده است. روش تحلیل استاتیکی غیرخطی یا بارافزون یکی از روش‌های نوینی است که علاوه بر سرعت بالا و سادگی محاسبات، مورد توجه قرار گرفته است. دستورالعمل بهسازی لرزه‌ای و FEMA356 این روش را مورد توجه قرار داده‌اند. نتیجه این تحلیل تغییرمکان هدفی است که مبنای تعیین عملکرد سازه و بهسازی آن قرار می‌گیرد. تحلیل دینامیکی غیرخطی تنها روشی است که امروزه با بالاترین دقت اثرات محرك لرزه‌ای بر سازه‌ها را بررسی می‌کند. یکی از ضرایبی که در تعیین تغییرمکان هدف در این روش به کار می‌رود، ضریب کاهش سختی و مقاومت (C2) است؛ که برای اصلاح خطای درنظر نگرفتن اثرات کاهش سختی و کاهش مقاومت چرخه‌های هیسترزیسی است. در این مطالعه سه قاب بتن مسلح با دیوار برشی که مطابق با استاندارد ۲۸۰۰ ویرایش ۳ طراحی شده‌اند، تحت تأثیر شتاب‌نگاشتهای مختلفی که مطابق با دستورالعمل‌های FEMA273 و FEMA356 همپایه شده‌اند، قرار گرفته‌اند. با انجام تحلیل بارافزون و مقایسه نتایج آن با نتایج تحلیل دینامیکی، مقدار بدست آمده برای C2 با مقادیر پیشنهادی دستورالعمل بهسازی مقایسه شده‌است. که با افزایش زمان تناوب سازه، از میزان ضریب C2 کاسته می‌شود، به طوری که می‌توان در زمان تناوب‌های بالاتر آن را برابر یک درنظر گرفت و در محاسبات جایه‌جایی هدف از آن صرف نظر نمود. بیشترین تأثیر کاهش مقاومت و کاهش سختی بر آسیب‌های وارد شده، در سازه‌های با زمان تناوب پایین‌تر مشاهده می‌شود.

**واژگان کلیدی:**  
تحلیل استاتیکی غیرخطی،  
تحلیل دینامیکی غیرخطی،  
ضریب C2،  
تغییرمکان هدف،  
متاخنی‌های هیسترزیس،  
قابل بتن مسلح، دیوار برشی.

### ۱- مقدمه

در آیین‌نامه‌های مختلف طراحی لرزه‌ای به وجود آمده‌است. در چند سال اخیر محققان و موسسات زیادی روی این مسئله شروع به کار تحقیقاتی نموده‌اند و نتایج کار خود را در اختیار عموم قرار داده‌اند که از معروف‌ترین این موسسات Federal Emergency Management Agency FEMA که مطالعات خود رادر قالب گزارشات منتشر می‌کند. اولین نشریه این موسسه برای بررسی

در طی چند دهه گذشته با پیشرفت علم مهندسی زلزله و تحولاتی که در این زمینه شاهد بوده‌ایم، تغییرات زیادی

\* پست الکترونیک نویسنده مسئول: ghodrati@iust.ac.ir  
 ۱. استاد، قطب مطالعات بنیادی در مهندسی سازه، دانشکده مهندسی عمران، دانشگاه علم و صنعت ایران  
 ۲. استادیار، گروه عمران، دانشگاه پیام نور  
 ۳. کارشناس ارشد مهندسی سازه، دانشگاه علوم و فنون مازندران

بیان کردن رفتار هیسترزیسی دیوار برشی انتخاب گردیده است. جهت انجام تحلیل دینامیکی غیرخطی از ۷ شتاب نگاشت مختلف که مطابق با طیف طرح خاک نوع III استاندارد ۲۸۰۰ [۳] همپایه شده اند، استفاده شده است.

## ۲- مبانی نظری

### ۱- مدل هیسترزیسی سه پارامتری پارک [۴]

در ارزیابی پاسخ دینامیکی سازه های بتن مسلح توجه به خصوصیات متمایز کننده بتن از فولاد مدنظر قرار می گیرد. باید به آثار کاهش سختی، کاهش مقاومت و باریک شدگی در چنین مدل هایی توجه شود. پارک این خصوصیات را به کمک سه پارامتر  $\alpha$ ,  $\beta$ ,  $\gamma$  که به ترتیب بیانگر سه خصوصیت ذکر شده اند، تعریف نمود.

### ۲- تغییر مکان هدف

برای محاسبه تغییر مکان هدف در دستورالعمل های مختلف دو روش عمده وجود دارد:

- ۱- روش ضرایب تغییر مکان هدف
- ۲- روش طیف ظرفیت

روش نخست روش مرسوم در دستورالعمل های بهسازی است. در این روش با استفاده از بررسی های تحلیلی و آماری انجام شده بر روی سیستم های یک درجه آزاد با رفتار غیرخطی غیر کاهنده (دو خطی یا سه خطی) و نسبت میرایی ۵ درصد تغییر مکان هدف محاسبه می گردد. تغییر مکان هدف برای سازه با دیافراگم های صلب باید با در نظر گرفتن رفتار غیرخطی سازه برآورد گردد [۵]. روش تقریبی محاسبه تغییر مکان هدف عبارت است از:

$$\delta_r = C_0 \cdot C_1 \cdot C_2 \cdot C_3 \cdot S_a \cdot \frac{T_e^2}{4\pi^2} \cdot g \quad (1)$$

که در آن  $T_e$  زمان تناوب اصلی مؤثر ساختمان:

$$T_e = T_i \times \sqrt{\frac{k_i}{k_e}} \quad (2)$$

آسیب پذیری ساختمان ها، نشريه [۱] FEMA273 است. در همان زمان راهنمای ATC40 [۲] نیز گردآوری گردید. هر دو نشريه مشابه بودند و مفهوم عملکرد و روش های ارزیابی آن را به یک شکل بیان می نمودند.

روش تحلیلی مرسوم در این دستورالعمل ها روش تحلیل استاتیکی غیرخطی یا بار افزون می باشد. با این که روش تحلیل دینامیکی غیرخطی جامع ترین روشی است که می تواند برای تحلیل سازه به کار رود و جواب های دقیق تری نسبت به سایر روش های موجود به دست می دهد، با این حال به علت حساس بودن پاسخ ها به رکورد ورودی، عدم انطباق شرایط ساختگاهی محل ثبت رکورد با محل سازه مورد بررسی، وجود پارامتر های متنوع بر پاسخ سازه (نظیر محتوا فرکانسی، زمان تناوب خاک، مدت زمان زلزله، رفتار های کاهنده و...)، که منجر به لزوم تحلیل های متعدد و بهره گیری از نتایج آماری آن ها شده است، می توان گفت که این روش نسبتاً برای مدل سازی پیچیده و هزینه بر است. تحلیل بار افزون دارای مشکلات مربوط به تحلیل دینامیکی غیرخطی نبوده و با انجام آن می توان با استفاده از منحنی طیف پاسخ به عنوان منحنی نیاز، تخمین مناسبی از پاسخ لرزه ای سازه به دست آور. این روش علاوه بر مزایای فوق دارای کاستی های نیز می باشد که از جمله این کاستی ها می توان به لحاظ شدن تقریبی اثر رفتار کاهنده اجزاء سازه ای تحت چرخه های زلزله اشاره کرد. در تحقیق حاضر به بررسی این اثرات در روش تحلیل استاتیکی غیرخطی در قاب بتی با دیوار برشی پرداخته شده است. می توان با بهبود این روش و کاهش خطاهای آن در مقایسه با تحلیل های دینامیکی غیرخطی به واقعی تر شدن هر چه بیشتر پاسخ های آن کمک کرد. در مطالعه حاضر سه قاب بتی با دیوار برشی با شکل پذیری ویژه طرح گردیده اند. جهت محاسبه ضریب اصلاحی در نظر نگرفتن اثرات کاهنده گی منحنی های هیسترزیسی در تحلیل، از چند مدل هیسترزیسی با میزان کاهش سختی و مقاومت حداکثر، متوسط و حداقل بهره گرفته شده است. همچنین مدلی هیسترزیسی برای

مقدار جابه‌جایی هدف، این بار تحلیل به روش دینامیکی غیرخطی صورت می‌پذیرد. البته با این فرض که از منحنی‌های هیسترزیسی با درنظر داشتن اثر کاهندگی استفاده شود. واضح است که در اولین نگاه می‌توان پذیرفت که نسبت جابه‌جایی حداکثر تحلیل دینامیکی غیرخطی بر جابه‌جایی هدف تحلیل استاتیکی غیرخطی، می‌تواند بیانگر مقدار ضریب  $C_2$  باشد. با این حال به علت این‌که نمی‌توان از دقت دیگر ضرایب به کار رفته در تحلیل بارافزون مطمئن بود، شاید نتوان پاسخ‌های به دست آمده را قابل اطمینان دانست. بنابراین تضمینی وجود ندارد که نسبت به دست آمده دقیقاً برابر با ضریب پارامتر کاهندگی مورد نظر باشد.

۲- در این راهکار سعی می‌شود تا حdalامکان به طور کاملاً مستقل از نتایج تحلیل بارافزون نسبت به محاسبه ضریب  $C_2$  اقدام گردد. در این رویه لازم است که یکبار تحلیل دینامیکی غیرخطی بدون درنظر داشتن اثرات کاهندگی انجام شود. ضریب  $C_2$  این بار از نسبت جابه‌جایی حداکثر سازه با لحاظ نمودن اثرات کاهندگی بر جابه‌جایی حداکثر سازه بدون لحاظ نمودن اثرات کاهندگی محاسبه می‌گردد. توجیه پذیرش این عمل در این است که در این روش دو مقدار جابه‌جایی صورت و مخرج کسر مورد نظر با توجه به فرضیاتی مشترک و فرایندی یکسان به دست آمده‌اند و تنها عامل افتراق آن‌ها از یکدیگر در شکل منحنی هیسترزیسی آن‌ها می‌باشد. از آنجایی که در این منحنی‌ها تنها به کاهش مقاومت و سختی توجه گردیده است، نتیجه به دست آمده می‌تواند نسبت به روش اولیه دارای خطای کمتری باشد.

در نهایت نتایج به دست آمده برای سه قاب بتنی با زمان‌تนาوب‌های مختلف مقایسه‌ای با توصیه‌های دستورالعمل‌های موجود مقایسه می‌گردد.

### ۱-۳- تحلیل استاتیکی غیرخطی

در ابتدا برای به دست آوردن تغییرمکان هدف از روش تحلیل استاتیکی غیرخطی یا بارافزون استفاده گردیده

### ۳-۲- مدل اندیس خسارت

تحقیقات گسترده‌ای برای ایجاد یک مدل دقیق ارزیابی میزان خسارت وارد بر سازه‌ها در سالیان گذشته انجام گرفته‌است. مهمترین مدلی که برای این منظور معرفی شده، مدل پارک [۶] است. همچنین مدل خسارت پارک قسمتی انتگرالی از مدل هیسترزیسی سه پارامتری است، از آنجایی که سرعت کاهش مقاومت به عنوان مشخصه اصلی خسارت مستقیماً به پارامتر  $\beta$  وابسته است که به صورت زیر تعریف می‌گردد:

$$DI_{P\&A} = \frac{\delta_m}{\delta_u} + \frac{\beta}{\delta_u P_y} \int dE_h \quad (3)$$

مقدار ۰/۰۱ برای پارامتر  $\beta$  کاهش مقاومت اسمی پیشنهاد گردیده است [۴]. این رابطه به صورت ترکیب خطی خسارت ناشی از تغییرشکل جداکثر و انرژی هیسترزیس جذب شده تعریف می‌گردد. مقدار شاخص خسارت در صورتی که به بیش از مقدار واحد برسد، نشانگر خرابی کامل و تخریب سازه است. سه نوع اندیس خسارت برای هر سازه به کار می‌روند:

۱- اندیس خسارت اجزاء: شامل ستون‌ها، تیرها و یا دیوارهای برشی

۲- اندیس خسارت طبقه: شامل اجزای عمودی و افقی و کل خسارت طبقه

۳- کل خسارت ساختمان

### ۳- روش‌های تحلیل

هدف این تحقیق در حقيقة یافتن ضریبی اصلاحی در تحلیل‌های استاتیکی غیرخطی به روش ضرایب تغییرمکان هدف است. بدین منظور دو راهکار وجود خواهد داشت:

۱- یکبار تحلیل قاب به کمک روش استاتیکی غیرخطی انجام می‌پذیرد. در این حالت ضریب  $C_2$  در محاسبات وارد نمی‌گردد و فرض می‌گردد که تحلیل بدون توجه به آثار کاهندگی سختی و مقاومت می‌باشد. پس از پیدا کردن

بررسی رفتار کاهنده چرخه هیسترزیس در تحلیل‌های غیرخطی (پوش اور) برای قاب‌های بتنی خمشی و پیو با دیوار برشی است. به علت وجود المان صفحه‌ای دیوار برشی نمی‌توان از برنامه‌های تحلیل ماتریسی متداول استفاده کرد. برای این منظور از برنامه تحلیل غیرخطی خسارت بتن مسلح [۷] استفاده گردید. پس از انجام تحلیل IDARC بارافزون، نتایج به دست آمده شامل منحنی نیرو-جا به جای قاب خواهد بود.

قدم بعدی محاسبه تغییرمکان هدف است. بدین منظور ابتدا از روش منحنی ایده‌آل شده دو خطی،  $K_e$  محاسبه می‌گردد. روش کار بدین صورت است که ابتدا مقداری برای نیروی تسلیم  $V_y$  حدس زده می‌شود، سپس  $K_e$  حساب می‌گردد. با داشتن  $K_e$  می‌توان با کمک رابطه (۲) مقدار زمان‌تناوب مؤثر  $T_e$  را محاسبه کرد. بدین شکل با جایگذاری  $T_e$  در رابطه (۱) میزان تغییرمکان هدف محاسبه می‌گردد. در اینجا مقادیر دیگر ضریب‌ها ( $C_0, C_1, C_3$ ) به دلیل کنار گذاشته شدن تأثیر آنها در نتایج، برابر با ۱ در نظر گرفته شده‌اند. پس از محاسبه تغییرمکان هدف با رسم منحنی دو خطی به دست آمده سطح زیر منحنی با سطح زیر منحنی ظرفیت مقایسه می‌گردد. در صورت عدم انطباق مقدار دیگری برای  $V_y$  حدس زده و مراحل قبلی دوباره تکرار می‌شود. در پایان به محض رسیدن به دقیق قابل قبول می‌توان مقدار نهایی تغییرمکان هدف را به دست آورد.

### ۳-۲- تحلیل دینامیکی غیرخطی

دومین و مهمترین گام در این تحقیق انجام تحلیل دینامیکی و غیرخطی است تا به کمک نتایج آن بتوان نسبت به مقایسه مقادیر جا به جایی و تأثیر کاهنده‌گی بر آن، اظهارنظر کرد. پیش از این گفته شد که تحلیل دینامیکی غیرخطی دقیق‌ترین روشی است که برای حل پاسخ‌های سازه در برابر بارهای لرزه‌ای به کار می‌رود. البته بدین شرط که از فرضیات درستی نیز برخوردار باشد. یکی از این فرضیات، ماهیت نیروهای لرزه‌ای است. در صورتی که از شتاب‌نگاشتهای قابل اطمینان و مطابق با

شرایط منطقه در تحلیل استفاده نگردد، پاسخ‌های دریافت شده می‌توانند گمراه کننده باشند. در این تحقیق از برنامه IDARC [۷] که قابلیت تحلیل قاب‌های بتنی و تحلیل خسارات را دارد، برای تحلیل دینامیکی استفاده گردید.

### ۴- معرفی مدل قاب‌های بتنی با دیوار برشی

هدف این مطالعه بررسی ضریب  $C_2$  بر روی قاب‌های با دیوار برشی است. بدین منظور از سه قاب بتنی با دیوارهای برشی مطابق شکل ۱ برای تحلیل استفاده شده‌است. تمامی این قاب‌ها دارای ۴ دهانه ۵ متری می‌باشند و ارتفاع تمامی طبقات مساوی ۳ متر است. می‌باشند و ارتفاع تمامی طبقات مساوی ۳ متر است. ارتفاع میزان شکل‌پذیری آنها برابر  $R=11$  فرض گردید. در طراحی این قاب‌ها سعی گردیده است تا با شکلی متقاضی از اثرات ناشی از پیچش و نامنظمی بر پاسخ‌ها جلوگیری شود. بارگذاری ثقلی این قاب‌ها براساس آیین‌نامه مبحث ششم [۸] و بارگذاری لرزه‌ای و نیز بر طبق آیین‌نامه طراحی ساختمان‌ها در برابر زلزله [۳] انجام پذیرفته است.

تحلیل اولیه قاب‌ها به روش تحلیل استاتیکی معادل انجام شد. طراحی نیز به کمک نرم‌افزار ETABS [۹] و با توجه به آیین‌نامه ACI-318-02 [۱۰] انجام پذیرفت. با این حال قابل ذکر است به خاطر جلوگیری از شکست قاب‌ها حین تحلیل‌های دینامیکی، ترتیبی در نحوه تیپ‌بندی المان‌ها درنظر گرفته شد، که سازه دارای حد قابل قبولی از اضافه مقاومت برای تأمین شکل‌پذیری ویژه مورد درخواست باشد. زمان‌تناوب طبیعی سه قاب به ترتیب ۰/۸۹۷، ۱/۲۱۶ و ۱/۵۰۹ ثانیه محاسبه گردید.

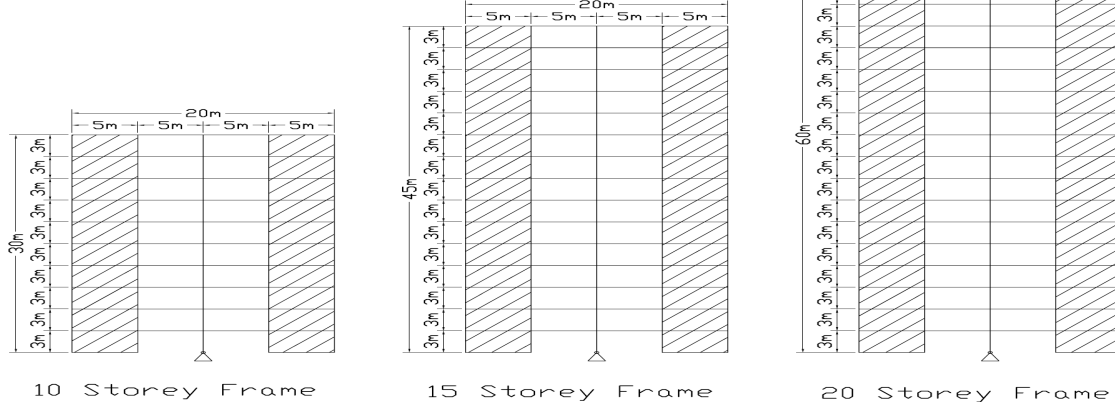
فرض شده‌است که قاب‌ها در پهنه با خطر لرزه خیزی خیلی زیاد با شتاب مبنای طرح  $0.35g$  قرار دارند و نوع زمین محل نیز خاک نوع III استاندارد ۲۸۰۰ می‌باشد [۳]. دیوارها با توجه به این‌که دارای ستون‌های مرزی با ضوابط مندرج آرماتورهای طولی و خاموت‌های عرضی در

دستورالعمل بهسازی ایران جهت همپایه‌سازی مقرر می‌دارد که شتاب‌نگاشتها باید در دوره تناوب ۰/۱ تا ۳ ثانیه هم‌خوانی و سازگاری داشته باشند. روش کار بدین صورت است که با محاسبه طیف پاسخ هر شتاب‌نگاشت، می‌توان سطح زیر نمودار طیف را به دست آورد و با همین مقدار حاصل از طیف طرح منطقه مقایسه نمود. سعی بر این است که با انتخاب ضریبی مناسب و ضرب آن در مقادیر شتاب‌نگاشت به توان به شتاب‌نگاشت جدیدی رسید که ظاهر نمودار دو طیف و سطح زیر آن‌ها حدالامکان به یکدیگر نزدیک باشد.

آیین‌نامه ACI-318-02 [۱۰] می‌باشد، طرح گردیده‌اند.

#### ۵- شتاب‌نگاشت‌های استفاده شده

از شتاب‌نگاشت‌های لرزه‌ای واقعی به عنوان نیروی وارد بر سازه‌ها، در تحلیل دینامیکی غیرخطی استفاده می‌گردد. در این تحقیق با انتخاب ۷ شتاب‌نگاشت زلزله‌های مختلف، که مطابق با طیف استاندارد ۲۸۰۰ [۳] مقیاس شده‌اند، و معرفی آن‌ها به برنامه IDARC [۷] تحلیل صورت پذیرفته است.



شکل ۱- سه قاب بتُنی با دیوار برشی استفاده شده در تحلیل

#### ۶- انتخاب منحنی‌های هیسترزیسی

سعی شده است تا منحنی‌های هیسترزیسی طوری انتخاب گردد که توقعات خواسته‌شده را برآورده سازند. بدین منظور لازم است که منحنی‌های انتخاب شده انجام سه نوع تحلیل زیر را میسر سازند:

۱- تحلیل دینامیکی غیرخطی بدون اثرات کاهنده‌گی مقاومت و سختی:

در این مدل سازی سعی شد تا منحنی انتخاب شده علاوه بر نمایش رفتار بتن و جداسازی آن از دیگر مصالح (نظیر فولاد)، هیچ گونه کاهشی در هنگام باربرداری از خود نشان

دستورالعمل بهسازی مقرر می‌دارد که استفاده از حداقل ۳ شتاب‌نگاشت با مؤلفه‌های مختلف و از حداقل ۳ رویداد مختلف الزامی است [۵]. تمامی شتاب‌نگاشتها با توجه به فرضیات محل ساخت قاب‌ها برای خاک نوع III آیین‌نامه می‌باشند. با انتخاب ۷ شتاب‌نگاشت می‌توان پس از محاسبه پاسخ‌ها، از مقادیر میانگین‌گیری کرد و به عنوان پاسخ نهایی مد نظر قرار داد [۵]. مطابق شکل ۲ ملاحظه می‌شود که طیف شتاب‌نگاشت‌های مقیاس شده هم‌خوانی خوبی با طیف طرح استاندارد ۲۸۰۰ [۳] دارد.

## ۷- محاسبات

### ۱-۷- محاسبه ضریب C<sub>2</sub>

پس از محاسبه تغییرمکان حداکثر با محاصل از نتایج تحلیل دینامیکی و محاسبه تغییرمکان هدف، می‌توان مقدار C<sub>2</sub> را به دست آورد. همان‌طور که گفته شد، یکبار C<sub>2</sub> از نتایج دینامیکی در مقایسه با جابه‌جایی هدف حساب می‌گردد و مرتبه بعدی از مقایسه نتایج دینامیکی با هم مقدار C<sub>2</sub> به دست می‌آید. جدول ۲ نتایج تحلیل‌های دینامیکی و استاتیکی را برای هر سه قاب نشان می‌دهد. بررسی ضرایب به دست آمده نشان می‌دهد ضریب C<sub>2</sub> بیش از واحد است، همچنین قابل مشاهده است که مقادیر به دست آمده از تحلیل بارافزون قابل اعتمادی باشند، زیرا در زمان‌تناوب‌های بالاتر هم مقادیر به دست آمده از آن‌ها کمتر از مقدار تحلیل دینامیکی می‌گردد و ضریب از ۱ بزرگ‌تر می‌شود. برای مقایسه نتایج به دست آمده با مقادیر پیشنهادی آیین‌نامه‌های FEMA356 [۱۴] و FEMA440 [۱۵] شکل‌های ۳ و ۴ ارائه شده‌است.

## ۲- ارزیابی خسارت

مقادیر محاسبه شده خسارت وارد بر قاب‌ها برای المان‌های تیر و ستون-دیوار محاسبه شده‌است. خسارت هر طبق و خسارت وارد بر کل سازه نیز به دست آمده‌است. برای مقایسه میزان تأثیر اثرات کاهنده‌گی بر خسارت وارد بر قاب‌ها شکل ۵ میانگین خسارت در هر قاب را در مقایسه با رابطه کاهنده‌گی در نظر گرفته شده نشان می‌دهد. همان‌طور که مشاهده می‌شود با افزایش میزان کاهنده‌گی بر مقدار خسارت افزوده می‌شود، با این حال این افزایش برای هر قاب متفاوت است. در قاب ۲۰ طبقه اختلاف بین خسارت ناشی از رفتار بدون کاهنده‌گی با شدیدترین کاهنده‌گی فرض شده در حدود ۵۱٪ است، درحالی‌که این اختلاف در قاب ۱۰ طبقه با زمان‌تناوب کمتر و میزان شکل‌پذیری پایین‌تر ۸۷٪ بیش از حالت بدون اثر کاهنده‌گی است.

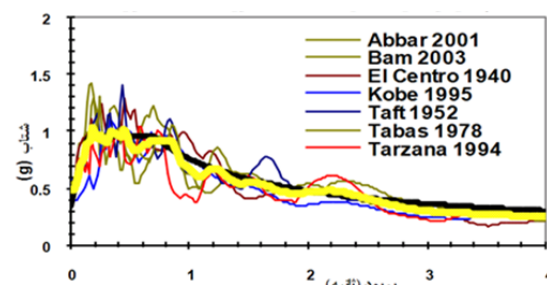
ندهد. بدین منظور از منحنی هیسترزیسی کلاف [۱۱]

بدون اثر کاهنده‌گی استفاده شد.

۲- تحلیلی دینامیکی غیرخطی با اثرات متناسب و

معمول کاهنده‌گی و سختی:

در این وضعیت سعی شد تا حdalامکان با انتخاب منحنی‌های مناسب رفتار المان‌های بتونی را با توجه به اثرات کاهشی مقاومت و سختی مدل نمود. بدین منظور از منحنی هیسترزیسی تاکدا [۱۲] با کاهش سختی و مقاومت برای مدل رفتار خمشی همه المان‌ها و از منحنی هیسترزیسی مبدأ‌گرا [۱۳] برای مدل سازی رفتار پرشی دیوارهای پرشی استفاده گردید.



شکل ۲- نمودار طیف طرح شتابنگاشتهای مقیاس شده

## ۳- تحلیل دینامیکی غیرخطی با شدیدترین آثار کاهنده‌گی:

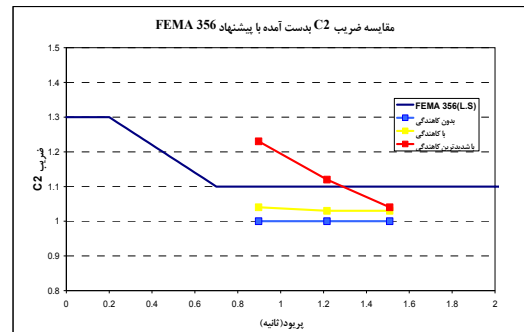
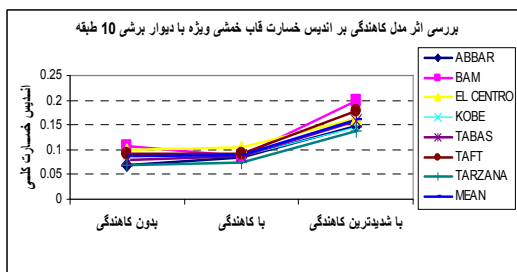
به جهت بررسی بدترین وضع کاهنده‌گی در برابر وضعیت بند ۱ (بدون اثر کاهنده‌گی) یک منحنی هیسترزیسی انتخاب گردید تا بدترین شرایط کاهنده‌گی اعم از مقاومت، سختی و باریک شدگی را در نظر بگیرد. این مقادیر با توجه به راهنمای برنامه و سقف مقادیر آن انتخاب گردیده است [۷]. در جدول ۱ مقادیر اصلی مدل سه پارامتری برای سه تحلیل یاد شده آورده شده‌اند.

جدول ۱- مقادیر مدل‌های سه پارامتری به کار رفته

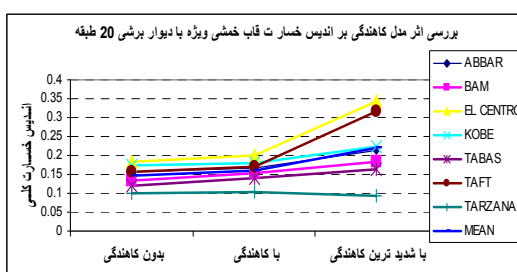
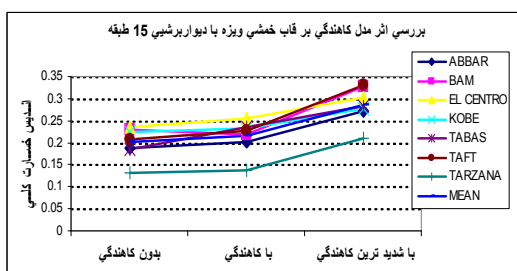
نام مدل	مقادیر پارامتر $\alpha$	مقادیر پارامتر $\beta$	مقادیر پارامتر $\gamma$
مدل کلاف	200	0.01	
مدل تاکدا	2	0.1	
مدل کاهنده‌گی شدید	4	0.60	0.01
مدل مبدأ‌گرا	0	0	0.01

جدول ۲- نتایج حداکثر جابه‌جایی بام در تحلیل‌های استاتیکی و دینامیکی غیرخطی و محاسبه ضریب C2 در قاب با دیوار برپشی ۱۰، ۱۵ و ۲۰ طبقه

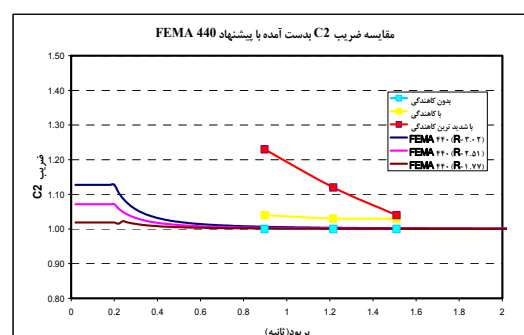
جابه‌جایی حداکثر تحلیل دینامیکی خطی با منحنی هیسترزیسی									جابه‌جایی هدف تحلیل بارافزون با الگوی سازگار مودی (میلیمتر)			شتاب نگاشت
کاهش شدید (میلیمتر)			تاکدا-مبداگرا (میلیمتر)			کلاف (میلیمتر)						
۲۰	۱۵	۱۰	۲۰	۱۵	۱۰	۲۰	۱۵	۱۰	۲۰	۱۵	۱۰	تعداد طبقات
225.15	229.17	162.34	227.95	214.02	168.18	227.49	210.19	163.95				ABBAR
299.52	308.56	192.70	294.69	302.70	182.21	294.42	301.41	176.13				BAM
330.96	361.60	193.12	319.44	314.23	175.54	295.99	294.18	131.95				EL CENTRO
302.44	290.64	161.53	293.63	275.66	119.11	273.42	259.99	108.93				KOBE
209.18	201.74	195.02	205.52	199.73	144.47	201.88	197.72	137.20	151.36	181.07	103.85	TABAS
248.99	261.14	193.88	246.77	208.22	109.94	246.69	196.84	141.10				TAFT
156.03	158.78	135.05	157.02	158.01	122.18	157.15	157.45	123.65				TARZANA
253.18	258.80	176.23	249.29	238.94	145.95	242.43	231.11	140.42				MEAN
1.04	1.12	1.26	1.03	1.03	1.04	1.00	1.00	1.00	-	-	-	دینامیکی با منحنی هیسترزیسی کلاف
1.67	1.43	1.70	1.65	1.32	1.41	-	-	-	1.00	1.00	1.00	محاسبه ضریب با C2 از پاسخ استفاده از تحلیل بارافزون با الگوی سازگار مودی



شکل ۳- مقایسه ضرایب C2 به دست آمده با FEMA356 [۱۴]



شکل ۵- مقایسه اثر مدل کاهندگی بر خساره قاب خمشی و بزده با دیوار برپشی ۱۰، ۱۵ و ۲۰ طبقه



شکل ۴- مقایسه ضرایب C2 به دست آمده با FEMA440 [۱۵]

**۸-نتیجه گیری**

۱- برای هر سه قاب میزان جابه‌جایی حاصل از تحلیل دینامیکی غیرخطی فراتر از جواب‌های تحلیل استاتیکی غیرخطی است.

۲- اگر در محاسبه ضریب  $C_2$  از نسبت پاسخ تحلیل‌های دینامیکی بر نتایج تحلیل بارافزون استفاده شود، در قاب ۱۰ طبقه برای مدل با کاهنده‌گی متوسط مقدار  $1/41$  و برای مدل با کاهنده‌گی شدید مقدار  $1/70$  حاصل می‌گردد. اگر همین مقایسه به جای تحلیل بارافزون با نتیجه حاصل از تحلیل دینامیکی بدون کاهنده‌گی انجام پذیرد برای مدل با کاهنده‌گی متوسط مقدار  $1/04$  و برای مدل با کاهنده‌گی شدید مقدار  $1/26$  به دست می‌آید. در قاب ۱۵ طبقه برای مدل با کاهنده‌گی متوسط مقدار  $1/32$  و برای مدل با کاهنده‌گی شدید مقدار  $1/43$  حاصل می‌گردد. اگر همین مقایسه به جای تحلیل بارافزون با نتیجه حاصل از تحلیل دینامیکی بدون کاهنده‌گی انجام پذیرد برای مدل با کاهنده‌گی متوسط مقدار  $1/03$  و برای مدل با کاهنده‌گی شدید مقدار  $1/12$  به دست می‌آید. و در نهایت در قاب ۲۰ طبقه برای مدل با کاهنده‌گی متوسط مقدار  $1/65$  و برای مدل با کاهنده‌گی شدید مقدار  $1/67$  حاصل می‌گردد. اگر همین مقایسه به جای تحلیل بارافزون با نتیجه حاصل از تحلیل دینامیکی بدون کاهنده‌گی انجام پذیرد برای مدل با کاهنده‌گی متوسط مقدار  $1/03$  و برای مدل با کاهنده‌گی شدید مقدار  $1/04$  به دست می‌آید.

۳- نتایج حاصل از تحلیل نشان داد که با افزایش زمان تناوب سازه از میزان ضریب  $C_2$  کاسته می‌شود، به‌طوری که می‌توان در زمان تناوب‌های بالاتر آن را برابر یک گرفت و در محاسبات جابه‌جایی هدف از آن صرف‌نظر نمود. این نتیجه با رابطه پیشنهادی FEMA 440 هم‌خوانی دارد، هرچند که دست بالاتر از آن هستند. و این که کلاً  $C_2$  در دستورالعمل 356 FEMA مقادیری محافظه‌کارانه‌تر از مقادیر به دست آمده تحقیق را نشان می‌داد.

**۹-فهرست علائم**

$\alpha$	درجه کاهش سختی
$\beta$	درجه کاهش مقاومت
$C_0$	ضریب اصلاح ارتباط تغییرمکان طیفی سیستم یک درجه آزاد به تغییرمکان بام سیستم چند درجه آزاد
$C_1$	ضریب تبدیل تغییر ممان طیفی خطی به تغییرمکان حداقل غیرخطی
$C_2$	ضریب اثر کاهش سختی و مقاومت اعضا سازه‌ای بر تغییرمکان‌ها به دلیل رفتار غیرارتجاعی
$C_3$	ضریب اثر افزایش تغییرشکل جانسی سازه تحت اثر $P\Delta$ در محدوده رفتار غیرخطی مصالح است
DI	اندیس خسارت
$\delta_m$	تغییرشکل حداقل خطی
$\delta_u$	تغییرشکل نهایی
$E_h$	انرژی مستهلك شده مقطع
$\gamma$	درجه باریک شدگی
$K_e$	شیب منحنی ایده‌آل شده
$K_i$	شیب منحنی اصلی نیرو- تغییرمکان
$P_y$	نیروی محوری تسلیم
R	نسبت مقاومت ارتجاعی مورد نیاز به مقاومت تسلیم
$T_e$	زمان تناوب اصلی مؤثر ساختمان
$T_i$	زمان تناوب اصلی ساختمان با فرض رفتار خطی
$V_y$	مقاومت تسلیم ساختمان در جهت مورد بررسی در تحلیل استاتیکی غیرخطی

- [1] FEMA 273, (1996). "NEHRP Guidelines for the seismic rehabilitation of buildings". Federal Emergency Management Agency.
- [2] ATC 40, (1997). "Seismic evaluation and retrofit of concrete buildings".
- [۳] استاندارد ۸۴-۲۸۰۰، (۱۳۸۴). آینه نامه طراحی ساختمان ها در برابر زلزله. کمیته دائمی بازنگری آینه نامه طراحی ساختمان ها در برابر زلزله، مرکز تحقیقات ساختمان و مسکن.
- [4] Park, Y.J., Reinhorn, A.M., Kunnath, S.K. (1987). "IDARC: Inelastic damage analysis of reinforced concrete frame-shear-wall structures". Technical report NCEER-87-0008, N.Y.: State University of New York at Buffalo.
- [۵] دفتر امور فنی و تدوین معیارها- سازمان مدیریت و برنامه ریزی کشور، (۱۳۸۱). "دستورالعمل بهسازی لرزه ای ساختمان های موجود". پژوهشگاه بین المللی زلزله شناسی و مهندسی زلزله.
- [6] Park, Y.J., Ang, A., Wen, Y.K. (1984). "Seismic damage analysis and damage limiting design of reinforced concrete building". University of Illinois at Urbana-Champaign.
- [7] Kunnath, S.K., Reinhorn, A.M., Lobo, R.F. (1992). "IDARC 2D Ver.3.0: A program for the inelastic damage analysis of reinforced concrete structures". Report No. NCEER-92-0022, National Center for Earthquake Engineering Research, State University of New York at Buffalo.
- [۸] دفتر تدوین و ترویج مقررات ملی ساختمان، (۱۳۸۰). "مبحث ششم: بارهای وارد بر ساختمان". وزارت مسکن و شهرسازی.
- [9] ETABS, (2004). "Extended three dimensional analysis and design of building systems". Computers & Structures, Inc., Berkeley, California.
- [۱۰] نقیه، م. (۱۳۸۳). آینه نامه سازه های بتنی ACI 318R-02 و تفسیر ۳۱۸-۰۲ ACI نشر ارکان.
- [11] Clough, R.W. (1966). "Effect of stiffness degradation on earthquake ductility requirements". Report 66-16, Structural and Materials Research, Structural Engineering Laboratory, University of California, Berkeley, CA.
- [12] Takeda, T., Sozen, M.A., Nielson, N.N., (1970). "Reinforced concrete response to simulated earthquakes". Journal of the Structural Division, ASCE, Vol. 96, ST12.
- [13] Kabeyasawa, T., Shiohara, H., Otani, S., Aoyama, H. (1983). "Analysis of the full-scale seven-story reinforced concrete test structure". Faculty of Engineering, University of Tokyo, Vol. XXXVII, No. 2, pp. 432-478.
- [14] FEMA 356, (2000). "NEHRP Recommended provisions for the seismic rehabilitation of buildings". Federal Emergency management Agency.
- [15] FEMA 440, (2005). "NEHRP Improvement of nonlinear static seismic analysis procedures". Federal Emergency management Agency.